

## مطالعه آورانهای سپتوم جانبی در مغز موش صحرایی به روش ردیابی رتروگراد HRP

هاشم حد دوست یزدی <sup>M.Sc.</sup>، ژیلای بهزادی <sup>Ph.D.\*</sup>، پریچهر پاسبخش <sup>Ph.D.\*</sup>، فریده ظفری زنگنه <sup>Ph.D.\*</sup>

\* دانشگاه علوم پزشکی تهران، دانشکده پزشکی، گروه فیزیولوژی

\* دانشگاه علوم پزشکی شهید بهشتی، دانشکده پزشکی، گروه فیزیولوژی

\* دانشگاه علوم پزشکی تهران، دانشکده پزشکی، گروه آناتومی

‡ آدرس مکاتبه: تهران، صندوق پستی ۱۸۱-۱۹۸۳۵، دانشگاه علوم پزشکی شهید بهشتی، گروه فیزیولوژی

### چکیده

\* **هدف:** بررسی آورانهای ناحیه سپتوم جانبی با استفاده از روش ردیابی رتروگراد (HRP) Horseradish peroxidase

\* **مواد و روشها:** یک میکرولیتر آنزیم ردیاب HRP (۲۵ درصد، سیگما) به وسیله جراحی استرئوناتاسیک و از طریق سرنگ هامیلتون به درون ناحیه سپتوم جانبی (LS) تزریق شد. ۴۸ ساعت پس از جراحی، مغز حیوان پرفیوز، تثبیت و برشگیری شده و HRP با استفاده از واکنش هیستوشیمیایی با کمک تترامتیل بتزدین و آب اکسیژنه آشکار شد.

\* **یافته‌ها:** اجسام سلولی نشاندار شده به طور یک طرفه در باند دیاگونال بروکا و هیپوکامپ در تلافال، هسته‌های پاراونتریکولار، پاراتینال، ری یونیس، جانبی - خلفی، اینترانترودورسال و میانی پشتی در تالاموس، ناحیه پره اپتیک جانبی، هیپوتالاموس قدامی و پشتی، هیپوتالاموس جانبی توبرسینوروم، ناحیه پری فورنیکال، هیپوتالاموس خلفی، هسته‌های ساب مامیلونالامیک، سوپرامامیلاری و پستانی - جانبی در هیپوتالاموس، ناحیه تگمنتال شکمی، هسته اینترفاسیکولاریس، هسته اینترپدانکولار، هسته‌های رافه، هسته‌های تگمنتال، ناحیه خاکستری مرکزی و لوکوس سرلئوس در ساقه مغز مشاهده شدند.

\* **نتیجه‌گیری:** براساس نتایج بدست آمده از ارتباط قسمتهای فوق با سپتوم جانبی و نقش واسطه‌های شیمیایی در این مسیرها، ناحیه سپتوم جانبی می‌تواند مرکز دریافت و تعدیل اطلاعات شناختی، رفتاری و اتونومیک از نواحی مختلف مغز باشد.

**کل واژگان:** سپتوم جانبی، ردیابی رتروگراد HRP، آورانها، موش صحرایی

## مقدمه

ناحیه سیتال یا همان سیتوم مجموعه‌ای از هسته‌ها و دسته‌های فیبری است که در بین شاخه‌های قدامی بطنهای جانبی، در زیر نواحی میانی و قدامی کورپوس کالوزوم و در قسمت پشتی بخش میانی رابط قدامی فرار می‌گیرد. این ناحیه خود به ۴ بخش جانبی، میانی، خلفی و شکمی تقسیم می‌شود.

بخش جانبی بزرگترین قسمت سیتوم بوده و شامل هسته سیتوم جانبی (LS) است. این بخش یک ایستگاه تفویضی مهم بوده که ساختمانهای لیمبیک در تلتانسفال، هیپوتالاموس و ساقه مغز را با یکدیگر مرتبط می‌سازد (۱) و از این طریق نقش اساسی در فرآیندهای فیزیولوژیک گوناگون مانند رفتار تهاجمی، هیجانان، تنظیم درجه حرارت، نوشیدن آب، غذا خوردن و رفتار جنسی ایفا می‌نماید (۲). بنابراین ارتباطات ناحیه سیتوم جانبی نقش مهمی در توجه مکانیسمهای فیزیولوژیک اعمال این ناحیه دارد. در دو دهه اخیر با استفاده از روشهای ردیابی تحقیقات بسیاری بر وایرانه‌ها و اورانه‌های این ناحیه صورت گرفته است. این تحقیقات مشخص می‌کند که وایرانه‌ها از LS به تشکیلات هیپوکامپ، قشر سینگولوم، نواحی اینترالیبیک و پدانتکولار پشتی، آمیگدال، توریکل بیویایی و هسته Accumbens تلتانسفال، بخشهایی از هیپوتالاموس نواحی هیپوتالاموس قدامی و جانبی و همچنین هسته‌های پاراونتریکولار و سوپراپتیک، هسته‌های خط میانی تالاموس شامل هسته پاراونتریکولار، رونیس و پارانتینال و در ساقه مغز به نواحی VTA، ماده سیاه، هسته ایسترفاسیکولاریس، هسته اینترپدانتکولار و هسته‌های رافه ختم می‌شوند (۳).

اورانه‌هایی که به LS وارد می‌شوند نیز از ساختمانهای متعددی در مغز ریشه می‌گیرند. یک ارتباط اورانی نوپوگرافیک از تشکیلات هیپوکامپ به LS گزارش شده است (۴). همچنین این هسته اورانه‌هایی را از هسته میانی آمیگدال (۵)، هیپوتالاموس قدامی، پشتی و ناحیه پری فورنیکال (۶)، هیپوتالاموس جانبی و سوپرسینوروم (۲)، هیپوتالاموس خلفی (۷) و همین‌طور بسیاری از نواحی در ساقه مغز دریافت می‌کند.

هر چند اطلاعات فراوانی درباره ارتباطات ناحیه سیتال در دسترس است ولی هنوز ابهاماتی درباره ارتباطات اورانی ناحیه سیتوم جانبی وجود دارد. به عنوان مثال، مطالعات الکتروفیزیولوژیک (۸) نخریب (۹) و رفتاری (۱۰) در سیتوم، حاکی از ورودیهای ناشناخته از دیگر به نقاط CNS این ناحیه است که در گزارشهای حاصل از تحقیقات به روش ردیابی به آن اشاره شده است.

همچنین در مطالعات گذشته به نحوه و میزان توزیع سلولهای مشاء این اورانه‌ها کمتر توجه شده است. بنابراین در این تحقیق با استفاده از روش ردیابی رتروگراد HRP بررسی کاملی درباره مشاء اورانه‌های ناحیه سیتوم جانبی انجام داده‌ایم. در این مطالعه، علاوه بر بررسی جایگاه و ریخت‌شناسی سلولهای فراکن (پروژکت کننده)، بررسی

کمی بر میزان ورودیها از هر قسمت نواحی مغز به عمل آمده و با یکدیگر مقایسه شده‌اند.

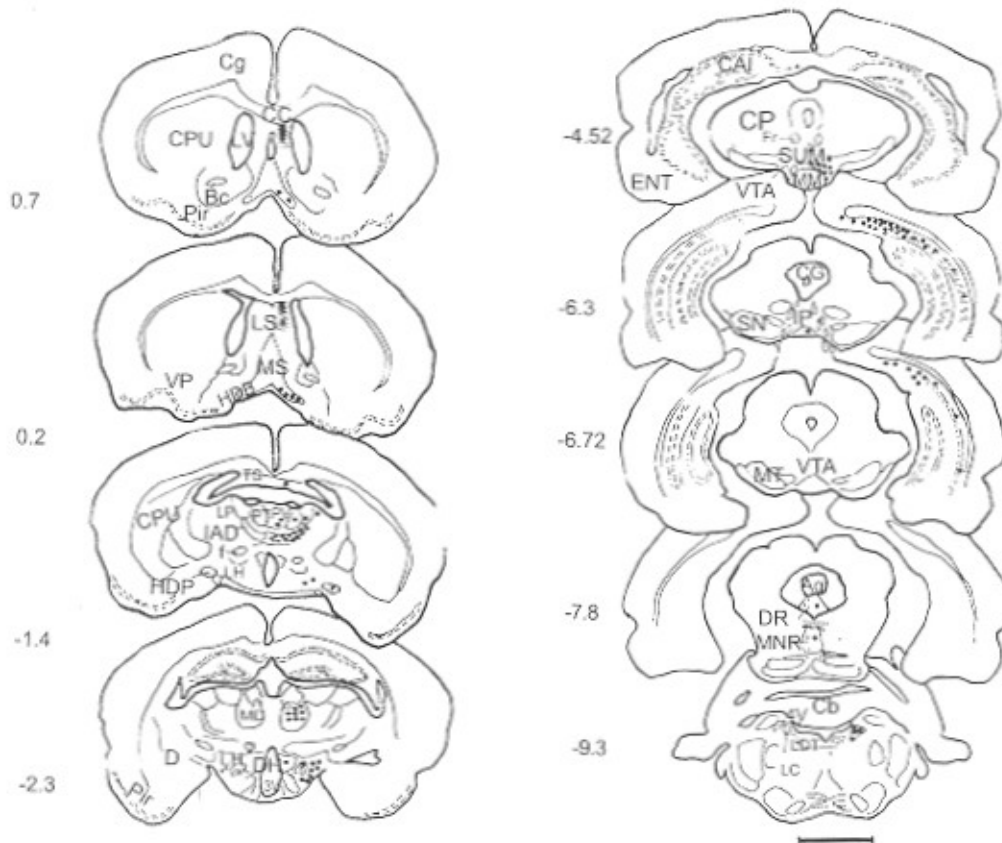
## مواد و روشها

این پژوهش بر روی ۱۳ موش صحرایی Sprague-Dawley به وزن ۲۸۰-۲۲۰ گرم و با استفاده از روش ارابه شده توسط مزولم (۱۱) انجام گرفت. موشها با ترکیبی از کتامین (۱۰۰ mg/kg) و گزیزلازین (۵ mg/kg) به صورت داخل صفاقی بیهوش شده و سپس با استفاده از جراحی استرنوتومی و از طریق سرنگ هامیلتون مقدار یک میکرولیتر HRP تیب VI (۵۰۰۰ واحدی سیگما) با غلظت ۲۵-۲۰ درصد که از حل کردن پودر HRP در سرم فیزیولوژی به دست می‌آید، به درون ناحیه سیتوم جانبی آنها با توجه به مختصات به دست آمده از اطلس پاکینوز و واتسون (۱۲) تزریق شد. پس از تزریق، به مدت ۱۵-۱۰ دقیقه سرنگ در مکان نگاه داشته شد تا از پخش شدن HRP جلوگیری شود. ۷۲-۴۸ ساعت پس از تزریق، مجدداً موشها با همان ترکیب فلی کتامین و گزیزلازین بیهوش و توسط ۲۰۰-۱۰۰ میلی‌لیتر نرمال سالین ۰/۹ درصد، ۵۰۰ میلی‌لیتر محلول تثبیت کننده حاوی گلوتارآلدئید ۱/۲۵ درصد و پارافمالدئید یک درصد در بافر فسفات ۰/۱ مولار (pH=۷/۴) و ۲۰۰ میلی‌لیتر محلول ساکارز ۵/۱۰ درصد در بافر فسفات ۰/۱ مولار پرفیوز شدند. مغز از جمجمه خارج و در تثبیت کننده نگهداری شد. پس از ۲۴ ساعت، مغز را به دو تا سه قطعه تقسیم کرده و توسط دستگاه ویراتوم برشهای ۷۰ میکرومتری تهیه شد. برشها به صورت یک در میان انتخاب و روی آنها واکنش هیستوشیمیایی با استفاده از تترامیل بنزدین (سیگما، TMB) سدیم نیتروفری سیانید (سیگما) انجام گرفته و توسط یک میلی‌لیتر محلول ۰/۳ درصد آب اکسیژنه، HRP آشکار شد. سپس برشها روی لامهای ژلاتینه منتقل شده و پس از خشک شدن برای ایجاد کنتراست بین بافت زمینه و سلولهای حاوی HRP، رنگ آمیزی قرمز خشتی بر روی آنها انجام گرفت و سپس آبگیری و لامل‌گذاری شدند. کلیه نمونه‌ها با کمک میکروسکوپ نوری مطالعه و سلولهای نشاندار شده در نقاط مختلف مغز قدامی و ساقه مغز با استفاده از اطلس پاکینوز و واتسون تعیین محل و شمارش شدند.

## یافته‌ها

### محل تزریق

در نمونه‌های مورد مطالعه محل تزریق بویژه در محور سربه دم تغییراتی را نشان می‌داد ولی در مجموع کانون تزریق، بخش میانی سیتوم در طول محور پشتی - شکمی،  $\frac{1}{4}$  میانی هسته (برگما ۱-۲/۰) در محور سربه دم (rostrocaudal) و در محور میانی - جانبی نیز قسمت میانی هسته را شامل می‌شد. به طور خلاصه مرکز تزریق در تمامی نمونه‌ها بخش میانی هسته بینایی LS (LSI) را دربرمی‌گرفت. گسترش پخش ماده ردیاب در فیبرهای کورپوس کالوزوم، بخش پشتی و شکمی LS (LSV و LSD) و SHI مشاهده شد (شکل ۲ تصویر A). تزریق ردیاب منجر به نشاندار شدن سلولها در هسته‌های مختلف تلتانسفال، دیانسفال و ساقه مغز به شرح زیر شد (شکل ۱).



شکل ۱: تصاویر تریسیمی از برشهای کورونال مغز که توزیع نوپوگرافیک نورونهای نشاندار شده را در نواحی مختلف تالانسفال، دیانسفال و ساقه مغز پس از تزریق به ناحیه سپتوم جانبی نشان می‌دهند. تصاویر ۱ و ۲ محل تزریق را نشان می‌دهند. ناحیه تیره قانون تزریق را نشان می‌دهد. ناحیه‌های هاشور زده اطراف منطقه تیره نمایانگر هم‌تراش ردیاب است و دایره‌های توپر نشان‌دهنده شمار نورونهای نشاندار هستند. خط مقیاس = ۲۱۵ میکرومتر.



### الف) تالانسفال

۴۴ درصد نورونهای نشاندار مشاهده شده در این ناحیه قرار داشتند که اغلب در دو بخش بازوی افقی باند دیاگونال و تشکیلات هیوکامپ متمرکز بودند. در بازوی افقی باند دیاگونال، نورونهای نشاندار از نواحی نزدیک به محل تزریق تا بخشهای دمی هسته پراکنده بودند و به اشکال هرمی، دوکی و گلابی شکل مشاهده شدند. حضور گرانولهای HRP در این سلولها به حدی بود که اکثر آنها پرننگ و حتی زواید آنها نیز قابل تشخیص بود.

در تشکیلات هیوکامپ سلولها به طور یک طرفه در بخش پشتی ناحیه CA1 شاخ آمون و ساییکولوم در سطوح دمی تشکیلات حضور داشتند (شکل ۲: F و G). در ناحیه CA2 نیز شمار کمی از سلولهای نشاندار به طور پراکنده مشاهده شدند. توزیع سلولهای نشاندار به گونه‌ای بود که بالاترین تجمع را در ناحیه مرزی ساییکولوم و CA1 داشتند و به طرف بخشهای میانی در ساییکولوم و شکمی در CA1 از تراکم آنها به نحو چشمگیری کاسته می‌شد. همچنین جابجایی در محل تزریق در محور سری به دمی سبب تغییر چشمگیری در توپوگرافی سلولهای نشاندار در CA1 ساییکولوم شد. سلولهای نشاندار، هرمی شکل و دارای یک نوریت راسی نشاندار شده کوتاه بودند و اختلاف فاز قابل توجهی با سلولهای بافت زمینه نشان می‌دادند.

### ب) دیانسفال

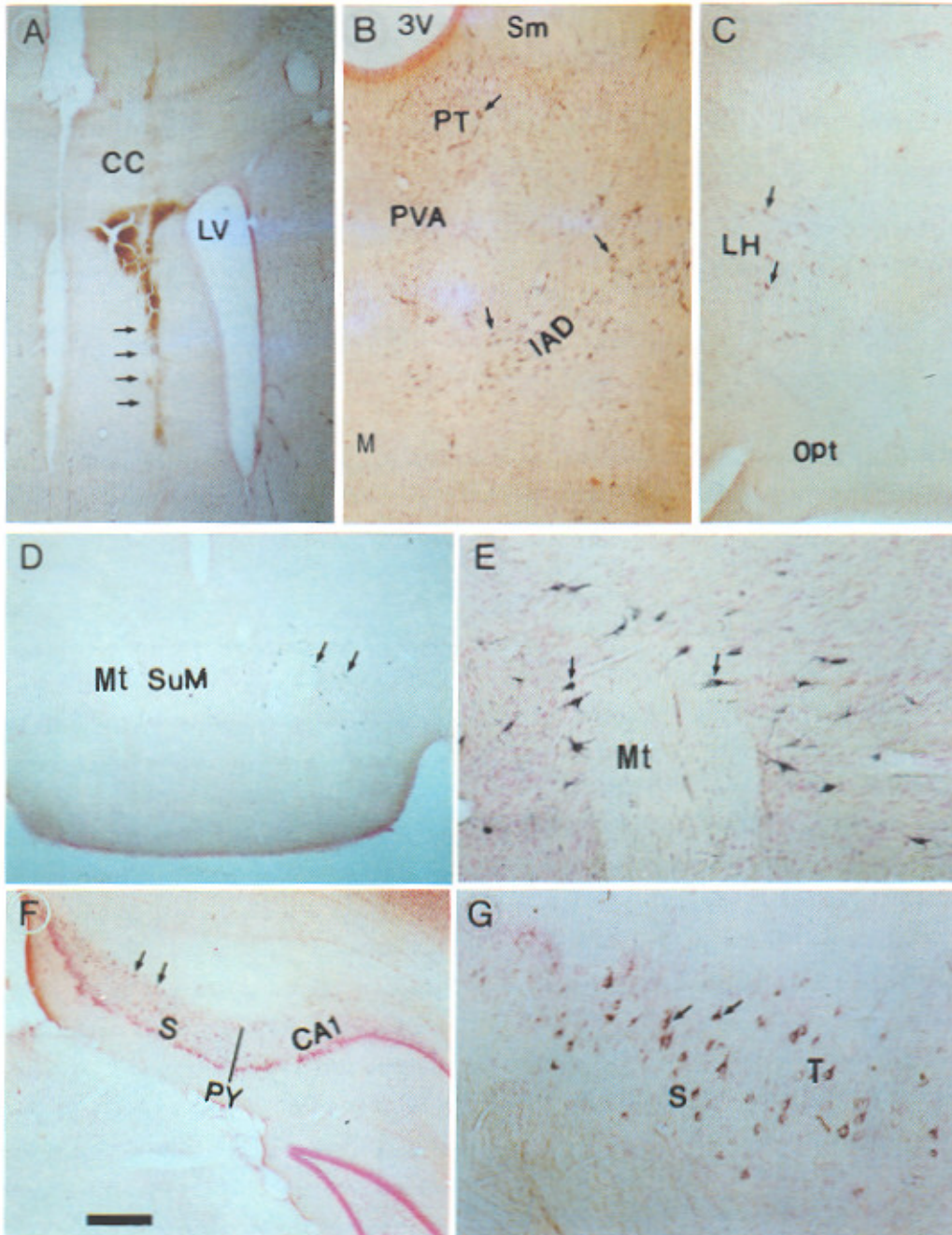
۲۳ درصد آورنهای ناحیه سپتوم جانبی از تالانسفال منشأ می‌گیرند. در این ناحیه اجسام سلولی حاوی گرانولهای HRP در بخش قدامی هسته پاراونتریکولار (PVA)، هسته‌های پارائینتال (PT) و ری‌سپینس (RE)، هسته‌های interanterodorsal (IAD) و میانی-پشتی (MD) مشاهده شدند. ۱۰ درصد از کل نورونهای نشاندار شده در هسته IAD قرار داشتند. در این هسته که از گروه هسته‌های خط میانی تالاموس می‌باشد سلولهای نشاندار شده بسببی شکل، کم‌رنگ و بدون نوریت نشاندار شده بودند (شکل ۲ تصویر B). در هسته MD سلولهای نشاندار شده از بخش سری هسته به طرف قسمت میانی آن افزایش یافته و از این قسمت تا نواحی دمی از تراکم این سلولها به میزان زیادی کاسته می‌شد. سلولهای نشاندار شده در بخش پشتی هسته قرار داشتند و اشکالی شبیه نورونهای نشاندار دیده شده در IAD را نشان می‌دادند.

در ردیابی نورونها در هیپوتالاموس نورونهای نشاندار از ناحیه پره اپتیک تا ناحیه سوپرامیلیاری قرار داشتند. این سلولها در ناحیه پره‌اپتیک جانبی (LPO)، هیپوتالاموس قدامی (AH)، هیپوتالاموس پشتی (DH)، هیپوتالاموس جانبی و نوپرسینوروم (LH/TC)، ناحیه پری فورنیکال (PEF)، هیپوتالاموس خلفی و هسته‌های اطراف ناحیه پستانی

مشاهده شدند.

در هیپوتالاموس جانبی سلولهای حاوی گرانولهای HRP در نیمه سری هسته و در موقعیتی شکمی - جانبی نسبت به فورنیکس قرار داشتند. این سلولها که عموماً در بالای راه بینایی (Opt) مشاهده شدند دوکی شکل با دو نوریت راسی نشاندار شده بودند که از دو قطب سلول خارج می شوند. میزان جذب HRP در بسیاری از سلولهای نشاندار شده در این ناحیه زیاد و در برخی دیگر متوسط بود (شکل ۲ تصویر C و در اطراف ناحیه پستانی (Mammillary body)، سلولهای نشاندار در سه هسته ساب مامیلونالامیک (SMT)، سوپر اماسیلاری (SuM) و

پستانی جانبی (LM) مشاهده شدند. بیشترین نورون نشاندار شده در این ناحیه در هسته SuM مشاهده گردید. در این هسته تراکم این نورونها از بخش سری به سمت بخش دمی افزایش می یافت و در بخش میانی سلولها به صورت متراکم در قسمت پشتی و جانبی نسبت به پایک پستانی مشاهده شدند. نورونهای نشاندار عموماً گلایبی و دوکی شکل بودند و ۲-۳ نوریت نشاندار شده در آنها به خوبی تشخیص داده می شد. این سلولها حاوی مقادیر زیاد گرانولهای HRP و پررنگ بودند (شکل ۲ تصاویر D و E).

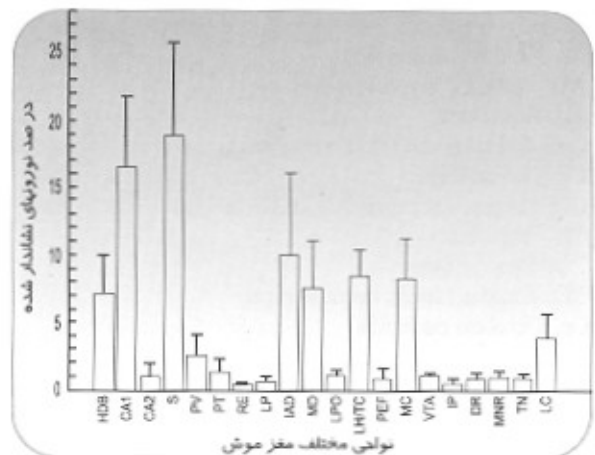


۱۴۸

شکل ۲: تصویر A محل تزریق را نشان می دهد؛ تصاویر B تا G نورونهای نشاندار شده (اینگانها) را در فالاموس (B)، هیپوتالاموس (C-E) و تشکیلات هیپوکامپ (F و G) نشان می دهند. خط مقیاس در A، B، C، D، E، F، G = ۲۰۰ میکرون و در B، G = ۶۲/۷ میکرون. رنگ آمیزی بافت زمینه: قرمز خنثی

ج) ساقه مغز

تنها ۹ درصد از کل سلولهای نشاندار شده در ساقه مغز مشاهده شد. این سلولها در ناحیه تگمتال شکمی (VTA)، هسته ایستریداتیکولار (IP) هسته ایسترفاسیکولاریس (IF)، هسته‌های رافه (DR, CLi, RLi, MNR, PMR)، ناحیه خاکستری مرکزی (CG) هسته‌های تگمتال بویژه LDTg و لوکوس سرلوس (LC) قرار داشتند (شکل ۳).



شکل ۳: هیستوگرام توزیع نورونهای نشاندار شده در هسته‌ها و نواحی مختلف تالانسان. دیانسفال وساقه مغز را پس از تزریق HRP به سیتوم جانبی نشان می‌دهد.

CA2، CA1 و سایکولوم از ناحیه CA3 نیز فیبرهایی به صورت دوطرفه به LS ارسال می‌شوند که توسط دیگر منابع نیز تأیید می‌شود (۱۳) و (۱۴). بررسی دقیق نتایج این محققین نشان می‌دهد که فیبرها از سلولهای هرمی ناحیه CA3 در بخش‌های پشتی و شکمی (هسته‌های LSD و LSV) در نواحی دمی LS ختم می‌شوند که به دور از کانون تزریق در مطالعات مابودند. این عامل در ارتباط با فیبرهای ارسالی از آمیگدال به LS نیز صدق می‌کند. بنابراین عدم مشاهده سلولهای نشاندار شده با HRP در CA3 و آمیگدال در مطالعه ما می‌تواند ناشی از دور بودن کانون تزریق از پایانه‌های فیبرها از این نواحی باشد.

آورانه‌ها از تشکیلات هیپوکامپ به سیتوم جانبی گلوتاماترژیک می‌باشند (۱، ۳، ۱۱) و بر نورونهای سوماتواساپینی گاباارژیک ختم می‌شوند. این نورونها خود خروجی اصلی از LS به نواحی آمیگدال، دیانسفال و همچنین ساقه مغز را تشکیل می‌دهند (۳). از این طریق (تقویت توسط هسته LS) نواحی تالانسانالیک لیمبیک (هیپوکامپ و قشراتورینال) با هیپوتالاموس و ساقه مغز در ارتباط بوده و اعمال این نواحی مغز را کنترل می‌نمایند.

ارتباط آورانی از هسته‌های تالاموسی پاراونتریکولار، پارائینال و ری‌وینیس به سیتوم جانبی توسط منابع مختلف گزارش شده است (۴، ۱۵، ۱۶) که در این تحقیق نیز مشاهده شد. لکن ارتباط آورانی از دو هسته میانی - پشتی (MD) و IAD که در مطالعه ما حجم بالایی از آورانه‌های ناحیه سیتوم جانبی را تشکیل می‌دهند (مجموعاً ۱۷ درصد)، تاکنون گزارش نشده است که می‌تواند ناشی از اختلاف در محل تزریق باشد. از آنجا که هسته IAD مانند هسته‌های PV، PT و RE، که ارتباط از آورانی از این هسته‌ها به LS ثابت شده است، از گروه هسته‌های خط میانی می‌باشد وجود چنین ارتباطی ممکن می‌باشد و تحقیقات دیگر در این زمینه می‌تواند روشن کننده این مسئله باشند. دربارہ واسطه‌های شیمیایی احتمالی آورانه‌ها از تالاموس به LS و همچنین عمل این ارتباطات گزارشی ارائه نشده است.

فیبرهایی که از نواحی هیپوتالاموس قدامی، پری فورنیکال و هیپوتالاموس پشتی به LS ارسال می‌شوند حاوی CRH و انکفالین می‌باشند و نقش مهمی در میانجیگری و تنظیم فعال شدن پاسخ‌های اتونومیک و رفتاری ایفا می‌نمایند (۶). آورانه‌ها از هیپوتالاموس جانبی - توبرسینوروم به ناحیه سیتوم جانبی حاوی ماده P هستند. این ارتباط در رابطه با رفتار جنسی که بوسیله هورمونهای استروئیدی تنظیم می‌شود، است. همچنین نقشی برای آنها در تشنگی و تنظیم مایعات در بدن پستانداران عنوان می‌کنند. در مطالعه ما نشان داده شده که ۱۰ درصد آورانه‌های LS از نواحی مامیلاری بویژه هسته SUM منشأ می‌گیرند. ۶۰ درصد این فیبرها آسپارنات، گلوتاماترژیک بوده (۱۷) و ۴۰ درصد دوپامینرژیک (۱۸) هستند. عمل این ارتباط مشخص نیست. از هسته‌های رافه فیبرهای ارسالی به LS عموماً سروتونرژیک بوده و فعالیت سلولهای هدف حاوی استروژن را که به نوبه خود به نواحی هیپوتالاموسی فراقکن (پروژکت) می‌نمایند تنظیم می‌کنند (۱۹). همچنین نشان داده شده است که اگر نوسنهای سروتونین سبب مهار فعالیت سلولهای سیتوم جانبی می‌شود، که با این عمل در کنترل ریتم تنا شرکت

در میان این هسته‌ها، تنها LC تراکم قابل توجهی از نورونهای نشاندار شده (۴ درصد) را دارا بود. شمار سلولهای نشاندار در این هسته از بخش سری به طرف بخش دمی افزایش می‌یافت و بخش میانی هسته بیشترین تراکم سلولهای نشاندار را نشان می‌داد. این سلولها، به خصوص در بخش سری هسته، در قسمت پشتی متمرکز بودند. سلولها گلایبی شکل و چند وجهی بودند. در بسیاری از آنها نوریت‌های نشاندار شده قابل تشخیص بود و در نهایت پررنگترین سلولهای نشاندار مشاهده شده در هر موش بودند.

در مجموع ۹۸/۸ درصد سلولهای نشاندار در طرف تزریق قرار داشتند. در طرف مقابل معدودی سلولهای نشاندار شده در هیپوتالاموس جانبی، هسته سوپرامیلاری، هسته‌های پشتی و میانی رافه مشاهده شدند.

بحث

در بررسی نتایج حاصل از این تحقیق مشخص می‌شود که سیتوم جانبی آورانه‌های فراوانی را بطور یکطرفه از نواحی CA1 و CA2 شاخ آمون و سایکولوم در تشکیلات هیپوکامپ دریافت می‌کند. این آورانه‌ها مجموعاً ۳۷ درصد از کل آورانه‌ها به این ناحیه را تشکیل می‌دهند. در مطالعه‌ای که توسط Cowan و Swanson (۱۹۷۹) با استفاده از تکنیک ردیابی اتروگراد اتورادیوگرافی و ردیابی رتروگراد HRP انجام شده است، میزان و کمیت آورانه‌ها از تشکیلات هیپوکامپ به سیتوم جانبی در نظر گرفته نشده است ولی عنوان شده که علاوه بر نواحی

می‌کنند (۲۰).

با توجه به کم‌اهمیت بودن نقش ارتباطات داخلی از LS به ناحیه سبتوم میانی در ارتباط با کنترل فعالیت مدار سبتو-هیپوکامپ، لزوم بررسی و تحقیق بر روی اعمال ناحیه سبتوم جانبی و مکانیسم‌های احتمالی این اعمال قابل توجه است.

جمع‌بندی از نتایج حاصل از مطالعه ما نشان می‌دهد که سبتوم جانبی آورانه‌های فراوانی را از نواحی مختلف مغز دریافت می‌کند. از آنجایی که در حال حاضر از دید فیزیولوژیک، ناحیه سبتال با مدار سبتو-هیپوکامپ (از سبتوم میانی به تشکیلات هیپوکامپ) معرفی می‌شود و

## Abbreviations

3V: 3Rd Ventricle  
4V: 4Th Ventricle  
Ac: Anterior commissure  
AH: Anterior Hypothalamus  
Aq: Aqueduct  
CA1-3: Fields CA1-3 of ammon's horn  
Cb: Cerebellum  
CC: Corpus Callosum  
Cg: Cingulum  
CG: Central Grey  
CLi: Caudal Linear nucleus raphe  
Cp: Cerebral peduncle  
CPu: Caudate Putamen  
CRH: Corticotropin Releasing hormone  
DH: Dorsal Hypothalamic nucleus  
DBB: Diagonal Band of Broca  
DR: Dorsal Raphe  
DTgP: Dorsal Tegmental nucleus, Pericentral  
ENT: Entorhinal cortex  
f: fornix  
Fr: Fasciculus retroflexus  
HDB: Horizontal limb of the Diagonal Band  
IF: Inter-Fascicular nucleus  
IP: Inter-Peduncular nucleus  
LC: Locus Coeruleus  
LDT (LDTg): Laterodorsal tegmental nucleus  
LH: Lateral Hypothalamic area  
LM: Lateral Mammillary  
LP: Lateral Posterior thalamic nucleus  
LPO: Lateral Preoptic area  
LS: Lateral Septum  
LSD: Lateral Septal nucleus, Dorsal part  
LSI: Lateral Septal nucleus, Intermediate part

LSV: Lateral Septal nucleus, Ventral part  
LV: Lateral Ventricle  
MC: Mammillary Complex (SMT, SuM, LM)  
MD: Mediodorsal thalamic nucleus  
ML: Medial Lemniscus  
MM: Medial Mammillary nucleus  
MNR: Median Raphe nucleus  
MP(mp): Mammillary Peduncle  
Mt: Mammillothalamic tract  
Opt: Optic tract  
PEF: Perifornical nucleus  
PH: Posterior Hypothalamic area  
Pir: Piriform cortex  
PMR: Paramedian Raphe  
PT: Paratenial Thalamus nucleus  
PV: Paraventricular thalamic nucleus  
PVA: Paraventricular thalamic nucleus, anterior  
PY: Pyramidal layer  
RE: Reuniens thalamic nucleus  
RLi: Rostral Linear nucleus raphe  
S: Subiculum  
SHi: Septohippocampal nucleus  
Sm: Stria medullaris  
SMT: Sub-Mammillothalamic Tract  
SN: Substantia Nigra  
SuM: Supra-Mammillary nucleus  
TC: Tuber Cinereum  
TMB: Tetramethylbenzidine  
TN: Tegmental Nuclei  
TS: Triangular Septal nucleus  
VP: Ventral Pallidum  
VTA: Ventral Tegmental Area

۵۰

## References

- Jakab RL, Leranath C: Catecholaminergic, GABAergic, and hippocamposeptal innervation of GABAergic "somatospiny" neurons in the rat lateral septal area. *J Comp Neurol* 1990; 302: 305-321
- Szeidmann Z, Jakab RL, Shanabrough M leranath C: Extrinsic and intrinsic substance p innervation of the rat lateral septal area calbindin cells. *Neurosci* 1995; 69(4): 1205-1221
- Paxinos G: *The rat nervous system.*, Academic Press, Second Edition 1994
- Swanson LW, Cowan WM: The connections of the septal region in the rat. *J Comp Neurol* 1979; 186: 621-656
- Caffe AR, Van Leeuwen FW, Luiten PGM: Vasopressin cells in the medial amygdala of the rat project to the lateral septum and ventral hippocampus. *J Comp Neurol* 1987; 261: 237-252
- Sakanaka M, Magari S, Shibasaki T, Lederis K: Corticotropin releasing factor-containing afferents to the lateral septum of the rat brain. *J Comp Neurol* 1988; 270: 404-415
- Vertes RP, Crane AM, Colom LV, Bland BH: Ascending projections of the posterior nucleus of the hypothalamus: PHA-L analysis in the rat. *J*

CompNeurol 1995; 359(1): 90-116

8. Disturnal JE, Veale WL, Pittman QJ:

Electrophysiological analysis of potential arginine vasopressin projections to the ventral septal area of the rat. Brain Res 1985; 342: 162-167

9. Dinopoulos A, Dori I, Parnavelas JG: Serotonergic innervation of the mature and developing lateral septum of the rat: a light and electron microscopic immunocytochemical analysis. Neurosci 1993; Vol 55(1): 209-222

10. Colomari DS, Haibara AS, Camargo LA, Saad WA, Renzi A, DE-luca junior LA, Menani JV: Role of the medial septal area on the cardiovascular, fluid and electrolytic responses to angiotensin 2 and cholinergic activation into the subfornical organ in rats. Brain Res.Bul 1994; 33(3): 249-54

11. Mesulam MM: Tracing neural connections with horseradish peroxidase. Wiley A(ed). Interscience publication 1982

12. Paxinos G, Watson C: The rat brain in stereotaxic coordination. Academic Press, Second Edition 1986

13. Gaykema RPA, Van der Kuil, J, Hersh LB, Luiten PGM: Patterns of direct projections from the hippocampus to the medial septum-diagonal band complex: anterograde tracing with phaseolus vulgaris leucoagglutinin combined with immunohistochemistry of choline acetyltransferase. Neurosci 1991; Vol 43(2/3): 349-360

14. Ino T, Yasui Y, Itoh K, Nomura S, Akiguchi T, Kameyama M, Mizuno N: Direct projections from ammon's horn to the septum in the cat. Exp Brain Res 1987; 68: 179-188

15. Staiger JF, Nurnberger F: Pattern of afferents to the lateral septum in the guinea pig. Cell-Tissue-Res 1989; 257(3): 471-90

16. Ohtake T, Yamada H: Efferent connections of the nucleus reuniens and the rhomboid nucleus in the rat an anterograde PHA-L tracing study. Neurosci Res 1989; 6(6): 556-68

17. Leranath C, Kiss J: A population of supramammillaryarea calretinin neurons terminating on medial septal area cholinergic and lateral septal area calbindin-containing cells are aspartate/glutamatergic. J Neurosci 1996; 16(23): 7699-710

18. Vertes RP: PHA-L analysis of projections from the supramammillary nucleus in the rat. J.Comp Neurol 1992 326: 595-622

19. Kohler C, Chan-palay V, Steinbusch H: The distribution and origin of serotonin-containing fibers in the septal area: a combined immunohistochemical and fluorescent retrograde tracing study in the rat. J Comp Neurol 1982; 209: 91-111

20. Vertes RP, Fortin WJ, Crane AM: Projections of the median raphe nucleus in the rat. J Comp Neurol 1999; 407: 555-582

